

Особенности безызлучательной релаксации ионов Er^{3+} в кремниевых эпитаксиальных структурах

© К.Е. Кудрявцев^{†*}, Д.И. Крыжков^{†*}, А.В. Антонов^{†*}, Д.В. Шенгуров[†],
В.Б. Шмагин^{†*}, З.Ф. Красильник^{†*}

[†] Институт физики микроструктур Российской академии наук,
603950 Нижний Новгород, Россия

^{*} Нижегородский государственный университет им. Н.И. Лобачевского,
603950 Нижний Новгород, Россия

(Получена 10 февраля 2014 г. Принята к печати 24 февраля 2014 г.)

Исследованы особенности безызлучательной релаксации ионов Er^{3+} в слоях Si:Er, выращенных методом сублимационной молекулярно-лучевой эпитаксии. В диодных структурах Si:Er/Si с излучающими центрами преципитатного типа наблюдался резонансный фотоотклик на длине волны $\lambda \approx 1.5$ мкм, указывающий на безызлучательную релаксацию ионов эрбия по механизму обратной передачи энергии. Впервые наблюдалось насыщение „эрбиевого“ фототока в области высоких температур, что позволило оценить концентрацию эрбиевых центров, подверженных безызлучательной релаксации по указанному механизму ($N_0 \approx 5 \cdot 10^{16} \text{ см}^{-3}$). По порядку величины оценка N_0 соответствует концентрации оптически активных ионов эрбия при рекомбинационном механизме возбуждения слоев Si:Er. Проанализированы особенности безызлучательной релаксации ионов Er^{3+} в структурах Si:Er/Si с различными типами излучающих центров.

1. Введение

Легирование полупроводников ионами редкоземельных элементов (РЗЭ) позволяет формировать оптически активные центры с узкой и температурно-стабильной линией излучения, положение которой определяется величиной спин-орбитального расщепления электронных состояний в частично заполненной $4f$ -оболочке иона РЗЭ. Интерес к кремнию, легированному эрбием, определяется перспективами достижения оптического усиления и лазерной генерации на длине волны $\lambda \approx 1.5$ мкм (переход ${}^4I_{13/2} \rightarrow {}^4I_{15/2}$ в $4f$ -оболочке иона Er^{3+}), соответствующей минимуму потерь в кварцевых волоконно-оптических линиях связи. Результаты обширных исследований, выполненных в данной области и направленных как на развитие технологии светоизлучающих структур, так и на изучение физики процессов, определяющих излучательные свойства структур, представлены в обзорах [1–3].

Для эрбия в кремнии, как и в целом для ионов РЗЭ в полупроводниковых матрицах, характерно большое (на уровне единиц миллисекунд [4]) время излучательной релаксации. По этой причине конкурирующие процессы безызлучательной релаксации, обусловленные, как правило, дефектностью полупроводникового кристалла, в значительной степени определяют эффективность внутрицентральной люминесценции ионов РЗЭ. Для структур Si:Er/Si, получаемых методом сублимационной молекулярно-лучевой эпитаксии (СМЛЭ) [5,6] и имеющих наиболее интенсивную в классе структур на основе $c\text{-Si:Er}$ люминесценцию ионов Er^{3+} , процессы безызлучательной релаксации эрбия изучены достаточно слабо. В наибольшей степени это относится к безызлучательной релаксации по механизму обратной передачи

энергии (back-transfer-релаксация [7,8]), определяющей температурное гашение люминесценции эрбия при температурах $T > 100$ К. Выполненные ранее исследования показали, что полученные методом СМЛЭ структуры Si:Er/Si заметно отличаются от структур Si:Er/Si, получаемых ионной имплантацией, как по составу электрически активных центров, предположительно ответственных за back-transfer-релаксацию [9], так и по характеру температурного гашения люминесценции [10].

В данной работе методами спектроскопии фототока и спектроскопии фотолюминесценции с временным разрешением исследованы особенности безызлучательной релаксации ионов Er^{3+} в Si:Er/Si-диодах, полученных методом СМЛЭ.

2. Исследуемые структуры и методика эксперимента

Исследовались диодные структуры Si:Er/Si, выращенные методом СМЛЭ. Диодные структуры формировались слоями $p^+\text{-Si}/n\text{-Si:Er}/n^+\text{-Si}$. Толщина активного слоя $n\text{-Si:Er}$ составляла ~ 1 мкм, концентрация носителей $\sim (10^{16} - 10^{17}) \text{ см}^{-3}$, температура роста варьировалась в диапазоне $400 - 600^\circ\text{C}$. Толщина контактных слоев $p^+\text{-Si}$ ($[B] \approx 2 \cdot 10^{18} \text{ см}^{-3}$) и $n^+\text{-Si}$ ($[P] \sim 10^{18} \text{ см}^{-3}$) составляла ~ 0.2 мкм. Спектры фототока регистрировались без поддачи смещения на $p-n$ -переход. Для усиления фототока использовался малошумящий усилитель тока Stanford Research Systems SR570. В качестве источника возбуждающего излучения использовалась лампа накаливания. Часть спектра источника с энергией кванта, превышающей ширину запрещенной зоны кремния, отсекалась полосовыми фильтрами, и эффективный спектральный диапазон источника составлял $\sim 3700 - 8300 \text{ см}^{-1}$. Это позволяло увеличить отношение сигнал/шум и более

[†] E-mail: konstantin@ipmras.ru

четко фиксировать слабые резонансные особенности в спектрах фототока. Для спектрального анализа фототока использовался фурье-спектрометр Bruker Vertex80v. Спектральное разрешение составляло до 2 см^{-1} . Температурные измерения проводились в заливном азотном криостате. Люминесцентные измерения проводились с использованием решеточного монохроматора Acton 2300i. Возбуждение люминесценции осуществлялось импульсным Nd:YAG-лазером (длина волны излучения $\lambda = 532\text{ нм}$), эрбиевая люминесценция детектировалась фотоумножителем Hamamatsu R73.

3. Результаты и обсуждение

Безызлучательная релаксация ионов Er^{3+} в имплантационных структурах Si:Er/Si, осуществляемая путем обратной передачи энергии возбуждения, была исследована в [11,12]. Прямым доказательством обратной передачи энергии явилась регистрация резонансной особенности в спектре фототока диодной структуры Si:Er/Si на длине волны $\lambda \approx 1.5\text{ мкм}$, соответствующей переходу ${}^4I_{15/2} \rightarrow {}^4I_{13/2}$ иона Er^{3+} . Механизм возникновения этой особенности трактуется в [11] следующим образом. Поглощая фотон, ион эрбия переходит в возбужденное состояние ${}^4I_{13/2}$. Безызлучательная релаксация иона Er^{3+} в основное состояние ${}^4I_{15/2}$ сопровождается возбуждением электрона из валентной зоны на уровень $E_c - 0.15\text{ эВ}$, принадлежащий иону Er^{3+} , с последующим возбуждением электрона в зону проводимости. Далее мы рассмотрим особенности подобного процесса безызлучательной релаксации эрбия в СМЛЭ-структурах Si:Er/Si с преципитатными излучающими центрами, характеризуемыми относительно широкой, $30\text{--}50\text{ см}^{-1}$, линией излучения. Такие излучающие центры формируются в структурах Si:Er/Si, выращенных СМЛЭ при высокой температуре ($T_{\text{gr}} \approx 550\text{--}600^\circ\text{C}$) [13].

Спектр фототока образца с центрами преципитатного типа, зарегистрированный при температуре $T = 300\text{ К}$, в спектральном диапазоне вблизи 6500 см^{-1} , представлен на рис. 1. На том же рисунке для сравнения приведен спектр фотолюминесценции исследуемого образца. Сопоставление приведенных спектров люминесценции и фототока позволяет заключить, что наблюдаемая на фоне широкополосной „подставки“ резонансная особенность в спектре фототока действительно соответствует области излучательных переходов эрбия. Последнее подтверждает, что безызлучательная релаксация ионов Er^{3+} в составе центров преципитатного типа в СМЛЭ-структурах Si:Er/Si происходит по описанному выше механизму.

На рис. 2 сопоставлены спектры фототока, измеренные при $T = 300$ и 80 К . В спектре, измеренном при комнатной температуре, имеется выраженное длинноволновое плечо в области волновых чисел $\nu = 6350\text{--}6480\text{ см}^{-1}$, соответствующее переходам ионов Er^{3+} в возбужденное состояние ${}^4I_{13/2}$ с верхних

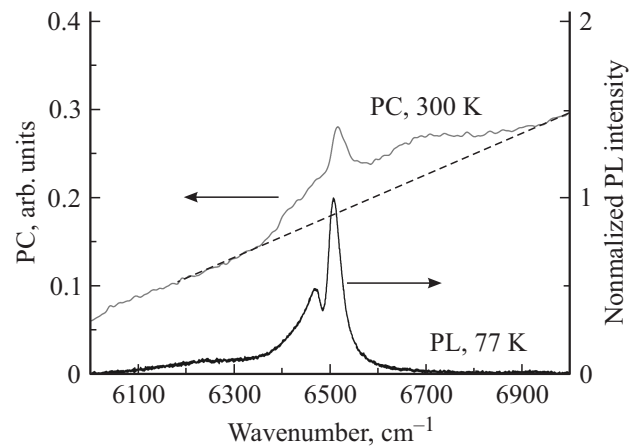


Рис. 1. Спектр фототока (PC) при $T = 300\text{ К}$ и спектр фотолюминесценции (PL) при $T = 77\text{ К}$. Штриховая линия — „фоновый“ ток, обусловленный примесно-дефектными комплексами, не участвующими в процессах возбуждения ионов эрбия.

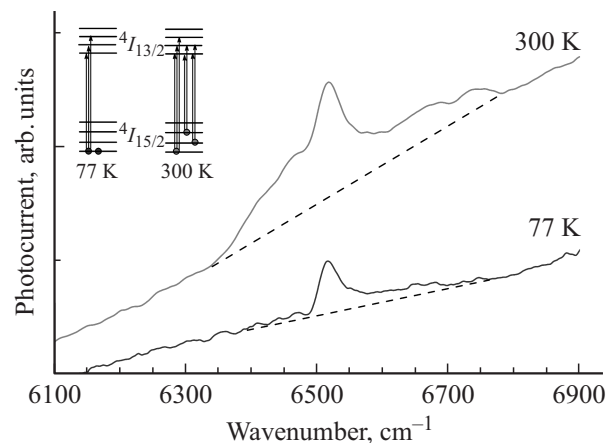


Рис. 2. Спектры фототока исследуемого Si:Er/Si диода при $T = 77$ и 300 К . Спектры сдвинуты по вертикали для наглядности. Штриховые линии — уровень примесно-дефектного фонового тока, не связанного с эрбием. На вставке — заселенность штарковских подуровней состояния ${}^4I_{15/2}$ при высоких и низких температурах.

штарковских подуровней основного состояния ${}^4I_{15/2}$ (см. вставку на рис. 2). При низких температурах заселены только нижние подуровни состояния ${}^4I_{15/2}$ и данное длинноволновое плечо не наблюдается.

Температурная зависимость интегральной величины „эрбиевого“ фототока приведена на рис. 3. Представленные данные позволяют выделить три температурных интервала с различным поведением фототока: область фонового тока I_0 ($T = 80\text{--}120\text{ К}$), область активационного роста ($T = 120\text{--}250\text{ К}$) и область насыщения I_{sat} ($T = 250\text{--}300\text{ К}$). Отметим, что нам впервые удалось наблюдать насыщение фототока, обусловленного безызлучательной релаксацией ионов Er^{3+} , с ростом температуры. То, что „эрбиевый“ фототок должен насыщать-

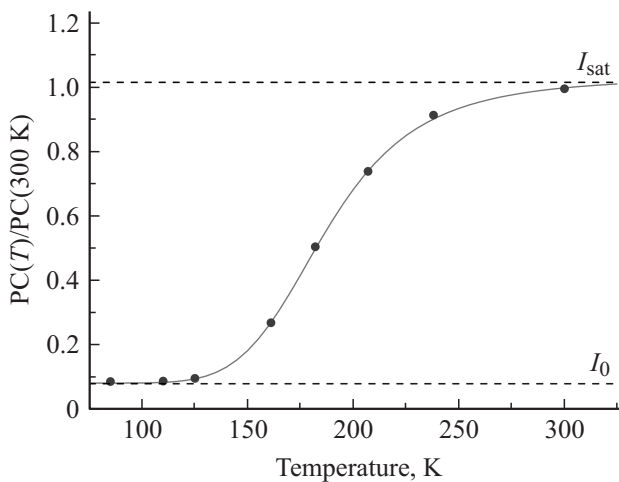


Рис. 3. Температурная зависимость „эрбиевой“ компоненты фототока (PC). Данные нормированы на величину фототока при $T = 300$ К. Точки — эксперимент, сплошная линия — аппроксимация выражением (1).

ся в области высоких температур, логически понятно. С ростом температуры темп безызлучательной релаксации резко возрастает и становится преобладающим по отношению к темпу излучательной релаксации. В режиме насыщения фототока все возбуждаемые ионы Er^{3+} релаксируют безызлучательно по механизму обратной передачи энергии. Тем не менее в ранее выполненных исследованиях [12,14] насыщение фототока не наблюдалось, в связи с чем авторы [12] предположили наличие в исследованных ими структурах дополнительного канала безызлучательной рекомбинации носителей, связанных на глубоких примесных уровнях. С нашей точки зрения, факт обнаружения нами насыщения фотоотклика ионов Er^{3+} в структурах Si:Er/Si, выращенных методом СМЛЭ, обусловлен значительно меньшей дефектностью слоев Si:Er, выращиваемых в процессе СМЛЭ, по сравнению с имплантационными структурами.

В рамках двухуровневой модели излучающего центра [15] температурная зависимость термоактивируемой компоненты фототока может быть описана следующим выражением (вывод приведен в *Приложении*):

$$I(T) = I_s \frac{1}{1 + (\tau^*/\tau_0) \exp(E_A/kT)}, \quad (1)$$

где

$$I_s = e\sigma\Phi N_0 V. \quad (2)$$

Здесь σ — сечение прямого оптического возбуждения ионов эрбия (на длине волны $\lambda \approx 1.53$ мкм), Φ — плотность потока фотонов накачки, N_0 — концентрация ионов Er^{3+} , поглощающих свет с длиной волны вблизи 1.5 мкм, V — объем активной области, e — заряд электрона; E_A и τ^* — энергия активации и характерное время безызлучательной релаксации соответственно (см. *Приложение*), τ_0 — излучательное время жизни иона Er^{3+} в возбужденном состоянии. Аппроксимация

данных эксперимента выражением (1) показана сплошной линией на рис. 3. Видно, что выражение (1) хорошо описывает данные эксперимента.

Аппроксимация зависимости $I(T)$ выражением (1) позволяет непосредственно из измерений спектров фототока определить параметры, характеризующие безызлучательную релаксацию ионов эрбия в исследованных структурах, а именно величины E_A и τ^* (см. выражение (П.3)). Значение энергии термической активации фототока составило $E_A \approx 140$ мэВ, для величины τ^* мы получили $\tau^*/\tau_0 \approx 2 \cdot 10^{-4}$ (соответственно $\tau^* \approx 2 \cdot 10^{-7}$ с). Отметим, что определенная из температурной зависимости фототока энергия активации безызлучательной релаксации E_A близка к значениям, приводимым в [7,8], в то время как эффективность взаимодействия, выражаемая величиной $(\tau^*)^{-1}$, для исследованных структур Si:Er/Si значительно меньше известных из литературы данных (в [12] приводится значение $\tau^* \approx 5 \cdot 10^{-9}$ с). На настоящий момент мы не располагаем какими-либо данными, позволяющими объяснить это расхождение.

В области высоких температур преобладающим механизмом релаксации эрбия становится безызлучательная релаксация с генерацией электронно-дырочной пары ($\tau \rightarrow \tau_{\text{NR}}$), при этом $I(T) \rightarrow I_s$. Поскольку, в отличие от всех предшествующих работ [12,14], мы наблюдаем выраженное насыщение „эрбиевого“ фототока в области высоких температур, мы можем непосредственно измерить величину I_s и по соотношению (2) оценить концентрацию N_0 ионов эрбия, дающих вклад в фототок в процессе безызлучательной релаксации.

По спектру фототока при $T = 300$ К мы оценили величину $I_s \approx 1 \cdot 10^{-12}$ А. Для величины сечения поглощения мы взяли значение $\sigma = 2 \cdot 10^{-20}$ см² [12], поскольку преобладающим типом оптически активных центров в исследуемых нами образцах, как и в исследованном в [12] образце, являлись центры преципитатного типа. Величины плотности потока фотонов и объема составляли $\Phi = 10^{15}$ см⁻² · с⁻¹, $V = 6 \cdot 10^{-6}$ см³. Отсюда получаем $N_0 = 5 \cdot 10^{16}$ см⁻³, что составляет $\sim 5\%$ от полной концентрации эрбия в слое Si:Er (по данным вторично-ионной масс-спектрометрии, $N_{\text{Er}}^{\text{tot}} = 10^{18}$ см⁻³). Отметим, что оценка N_0 соответствует по порядку величины характерным значениям оптической активности эрбия в слоях Si:Er, $\sim (1-10)\%$ [1,16]. Последнее обстоятельство очень важно и позволяет предположить, что эрбийсодержащие центры, дающие вклад в люминесценцию при рекомбинационном механизме возбуждения, обязательно подвержены безызлучательной релаксации по механизму обратной передачи энергии (back-transfer).

Сравним данные, полученные из спектроскопии фототока, с данными кинетики фотолюминесценции эрбия. Осциллограммы спада фотолюминесценции после окончания импульса накачки, зарегистрированные при различных температурах, приведены на рис. 4. Быстрая компонента сигнала соответствует оже-релаксации эрбия, локализованного вне обедненной области диода, на

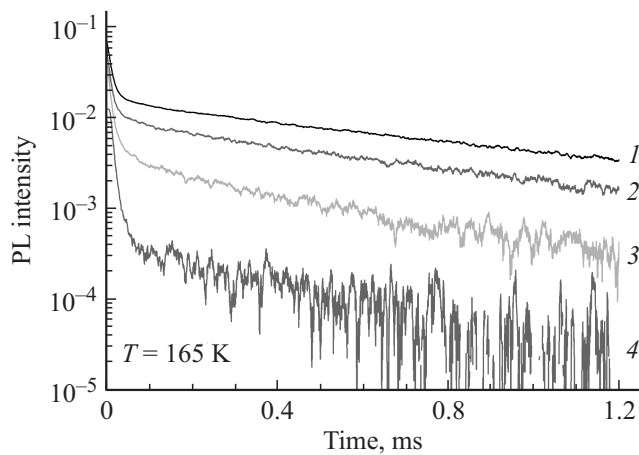


Рис. 4. Кинетика фотолуминесценции (PL) эрбия в исследуемом образце при различных температурах T , К: 1 — 85, 2 — 110, 3 — 145, 4 — 165.

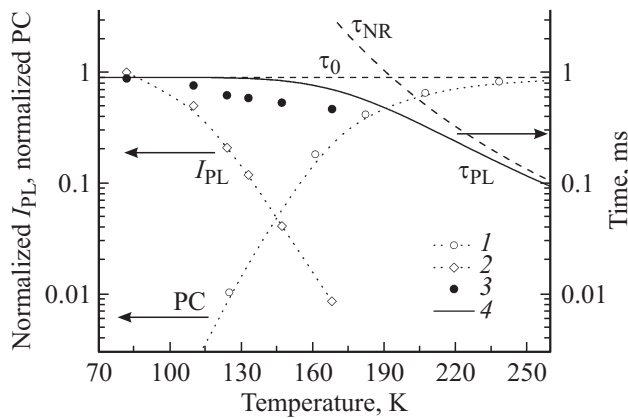


Рис. 5. Температурные зависимости величины „эрбиевого“ фототока (PC, 1), интенсивности (I_{PL} , 2) и времени спада фотолуминесценции ионов Er^{3+} (τ_{PL} , 3). Штриховая линия — излучательное время жизни иона Er^{3+} в возбужденном состоянии (τ_0) и рассчитанная (по данным фототока) температурная зависимость времени безызлучательной релаксации (τ_{NR}). 4 — рассчитанное согласно выражению (П.2) время спада эрбиевой фотолуминесценции.

избыточных носителей заряда. Медленная компонента люминесцентного отклика соответствует ионам эрбия, локализованным в обедненной области диода, для которых основным механизмом безызлучательной релаксации является back-transfer-релаксация. Из рис. 4 видно, что характерное время спада медленной компоненты люминесцентного отклика весьма слабо изменяется в диапазоне температур $T = 80\text{--}170$ К, т.е. влияние процессов безызлучательной релаксации на эффективное время жизни возбужденного иона Er^{3+} в исследованном интервале температур мало.

На рис. 5 данные кинетики ФЛ сопоставлены с результатами исследования температурного гашения эрбиевой фотолуминесценции и данными по температурной зависимости „эрбиевого“ фототока. Здесь же приведены

результаты расчета времени безызлучательной релаксации τ_{NR} и времени спада эрбиевой ФЛ τ_{PL} по данным спектроскопии фототока в соответствии с выражениями (П.2) и (П.3). Следует отметить, что рассчитанная зависимость $\tau_{\text{PL}}(T)$ удовлетворительно описывает экспериментальные данные, что подтверждает правильность наших представлений об особенностях безызлучательной релаксации ионов Er^{3+} в исследуемых структурах Si:Er/Si, выращенных методом СМЛЭ. Из рис. 5 видно, что интенсивность эрбиевой ФЛ испытывает сильное температурное гашение (на 2 порядка величины в диапазоне $T = 80\text{--}170$ К), в то время как время спада эрбиевой ФЛ меняется очень слабо. Это означает, что для излучающих центров преципитатного типа процессы безызлучательной релаксации ионов Er^{3+} не вносят существенного вклада в температурное гашение эрбиевой люминесценции в рассмотренном интервале температур. Данные спектроскопии фототока позволяют утверждать, что включение back-transfer-релаксации эрбия в исследованных нами структурах Si:Er/Si происходит при заметно более высоких температурах по сравнению с имплантационными структурами [7,8,12]. К сожалению, резкий спад интенсивности эрбиевой люминесценции с ростом температуры не позволил провести фотолуминесцентные измерения с временным разрешением при $T > 170$ К.

Ранее [10] мы отмечали, что выращенные методом СМЛЭ структуры Si:Er/Si с излучающими центрами, для которых характерны атомно-узкие линии люминесценции (в частности структуры с центрами типа Er-1 и Er-O1 [17]), характеризуются заметно меньшей энергией активации безызлучательной релаксации, составляющей, по данным кинетики люминесценции, $E_A \approx 70$ мэВ. Указанный процесс безызлучательной релаксации мы тем не менее отнесли к релаксации по механизму обратной передачи энергии, показав, что он характерен для ионов Er^{3+} , локализованных в обедненной области диодной структуры, и наблюдается при более высоких температурах по сравнению с оже-девозбуждением.

В данной работе мы детально исследовали спектры фототока структур Si:Er/Si с излучающими центрами типа Er-O1 и Er-1. Измерения были проведены в широком интервале температур, заведомо включающем в себя температуры, при которых, согласно данным кинетики люминесценции, безызлучательная релаксация преобладает над излучательной. Тем не менее в спектрах фототока диодных СМЛЭ-структур Si:Er/Si с излучающими центрами Er-O1 и Er-1 мы не наблюдали каких-либо резонансных особенностей, указывающих на генерацию свободных носителей в процессе безызлучательной релаксации. Это дает основания предположить, что рождаемые в процессе безызлучательной релаксации эрбия связанные носители заряда рекомбинируют и не дают вклада в фототок. Отметим, что малая энергия активации back-transfer-релаксации с необходимостью предполагает достаточно большой (по сравнению с величиной E_A) дефицит энергии, требуемой для выброса

носителей с промежуточного состояния, формируемого в процессе девозбуждения иона эрбия, в свободную зону.

4. Заключение

Исследованы особенности безызлучательной релаксации ионов эрбия в диапазоне температур $T > 100$ К в структурах Si:Er/Si, выращенных методом сублимационной молекулярно-лучевой эпитаксии. В структурах с излучающими центрами преципитатного типа наблюдался резонансный фотоотклик на длине волны $\lambda \approx 1.54$ мкм (соответствующей переходу ${}^4I_{15/2} \rightarrow {}^4I_{13/2}$ в $4f$ -оболочке иона Er^{3+}), указывающий на безызлучательную релаксацию ионов эрбия по механизму обратной передачи энергии. Энергия активации безызлучательной релаксации составила величину $E_A \approx 140$ мэВ. По данным спектроскопии фототока оценена концентрация Er-содержащих центров, подверженных данному механизму безызлучательной релаксации: $N_0 \approx 5 \cdot 10^{16} \text{ см}^{-3}$. По порядку величины оценка N_0 соответствует концентрации оптически активных ионов эрбия при экситонном механизме возбуждения слоев Si:Er. В выращенных методом СМЛЭ структурах Si:Er/Si с преобладанием излучающих центров Er-O1 и Er-1 с линейчатым спектром излучения безызлучательная релаксация ионов Er^{3+} характеризуется значительно меньшей энергией активации (~ 70 мэВ для центров типа Er-O1) и не сопровождается, по данным спектроскопии фототока, генерацией свободных носителей заряда.

Работа выполнена при поддержке РФФИ (гранты № 11-02-00953, 12-02-31287, 13-02-00397, 14-02-31660) и программ РАН.

Приложение

Вывод выражения для температурной зависимости фототока, обусловленного безызлучательной релаксацией ионов эрбия по механизму обратной передачи энергии

В предположении, что все носители, генерируемые при back-transfer-релаксации ионов эрбия, достигают контактов, величина I фототока определяется, выражением

$$I = e \frac{N^* V}{\tau_{\text{NR}}}$$

Здесь N^* — концентрация возбужденных ионов эрбия, τ_{NR} — время безызлучательной релаксации, сопровождающейся рождением электронно-дырочной пары, V — объем активной области образца, e — заряд электрона. В рамках двухуровневой модели излучающего центра [15] стационарное значение N^* при постоянной

плотности мощности накачки описывается выражением

$$N^* = N_0 \frac{\sigma \tau \Phi}{1 + \sigma \tau \Phi},$$

где N_0 — концентрация ионов эрбия, поглощающих свет с длиной волны вблизи 1.5 мкм, σ — сечение прямого оптического возбуждения эрбия, Φ — плотность потока фотонов накачки, τ — время жизни иона Er^{3+} в возбужденном состоянии. В наших экспериментах реализуется случай малой плотности мощности возбуждения, поэтому

$$N^* = N_0 \sigma \tau \Phi,$$

и выражение для величины фототока принимает вид

$$I = e(N_0 V) \sigma \Phi \frac{\tau}{\tau_{\text{NR}}}. \quad (\text{П.1})$$

Время жизни иона эрбия в возбужденном состоянии определяется двумя параллельными процессами:

$$\tau^{-1} = \tau_0^{-1} + \tau_{\text{NR}}^{-1}, \quad (\text{П.2})$$

т.е. имеют место излучательная релаксация с характерным временем τ_0 (~ 1 мс), не зависящим от температуры, и безызлучательная релаксация, время которой $\tau_{\text{NR}}(T)$ экспоненциально зависит от температуры:

$$\tau_{\text{NR}} = \tau^* \exp\left(\frac{E_A}{kT}\right). \quad (\text{П.3})$$

Подставляя (П.2) и (П.3) в выражение (П.1), получим искомое выражением температурной зависимости „эрбиевого“ фототока:

$$I(T) = I_s \frac{I}{1 + (\tau^*/\tau_0) \exp(E_A/kT)},$$

где $I_s = e \sigma \Phi N_0 V$.

Список литературы

- [1] A. Polman. J. Appl. Phys., **82**, 1 (1997).
- [2] A.J. Kenyon. Semicond. Sci. Technol., **20**, R65 (2005).
- [3] N.Q. Vinh, N.N. Ha, T. Gregorkiewicz. Proc. IEEE, **97**, 1269 (2009).
- [4] P.B. Klein, G.S. Pomrenke. Electron. Lett., **24** (24), 1502 (1988).
- [5] В.П. Кузнецов, Р.А. Рубцова. ФТП, **34** (5), 519 (2000).
- [6] В.П. Кузнецов, З.Ф. Красильник. ФТП, **44** (3), 413 (2010).
- [7] J. Palm, F. Gan, B. Zheng, J. Michel, L.C. Kimerling. Phys. Rev. B, **54**, 17 603 (1996).
- [8] F. Priolo, G. Franzo, S. Coffa, A. Carnera. Phys. Rev. B, **57**, 4443 (1998).
- [9] В.Б. Шмагин, Б.А. Андреев, А.В. Антонов, З.Ф. Красильник, В.П. Кузнецов, О.А. Кузнецов, Е.А. Ускова, С.А.А. Ammerlaan, G. Pensl. ФТП, **36** (2), 178 (2002).
- [10] К.Е. Кудрявцев, В.П. Кузнецов, В.Б. Шмагин, Д.В. Шенгуров, З.Ф. Красильник. Physica E, **41**, 899 (2009).
- [11] P.G. Kik, M.A.J. de Dood, K. Kikoin, A. Polman. Appl. Phys. Lett., **70**, 1721 (1997).

- [12] N. Hamelin, P.G. Kik, J.F. Suyver, K. Kikoin, A. Polman. *J. Appl. Phys.*, **88**, 5381 (2000).
- [13] Б.А. Андреев, З.Ф. Красильник, В.П. Кузнецов, О.А. Солдаткин, М.С. Бреслер, О.Б. Гусев, И.Н. Ясневич. *ФТТ*, **43** (6), 979 (2001).
- [14] T.D. Chen, M. Platero, M. Opher-Lipson, J. Palm, J. Michel, L.C. Kimerling. *Physica B*, **273–274**, 322 (1999).
- [15] S. Coffa, F. Priolo, G. Franzo, V. Bellani, A. Carnera, C. Spinella. *Phys. Rev. B*, **48**, 11 782 (1993).
- [16] G.N. van der Hoven, J.H. Shin, A. Polman, S. Lombardo, S.U. Campisano. *J. Appl. Phys.*, **78**, 2642 (1995).
- [17] А.Ю. Андреев, Б.А. Андреев, М.Н. Дроздов, В.П. Кузнецов, З.Ф. Красильник, Ю.А. Карпов, Р.А. Рубцова, М.В. Степихова, Е.А. Ускова, В.Б. Шмагин, Н. Ellmer, L. Palmetshofer, K. Pipits, H. Hutter. *ФТП*, **33** (2), 156 (1999).

Редактор Л.В. Шаронова

Features of back-transfer deexcitation of Er^{3+} ions in silicon epitaxial structures

K.E. Kudryavtsev⁺, D.I. Kryzhkov⁺, A.V. Antonov⁺, D.V. Shengurov⁺, V.B. Shmagin⁺, Z.F. Krasilnik⁺

⁺ Institute for Physics of Microstructures,
Russian Academy of Sciences,
603950 Nizhny Novgorod, Russia

^{*} Lobachevsky State University of Nizhny Novgorod,
603950 Nizhny Novgorod, Russia

Abstract Features of non-radiative deexcitation of Er^{3+} ions in Si:Er layers grown by sublimation molecular-beam epitaxy have been studied. In Si:Er/Si diode structures with SiO_2 -like erbium sites, resonant photoresponse at $1.5\ \mu m$ wavelength has been observed, which was a direct evidence of back-transfer deexcitation of Er^{3+} ions. For the first time, saturation of erbium-related photocurrent has been observed at high temperatures, and concentration of Er^{3+} sites, subjected to back-transfer deexcitation and contributing into resonant photocurrent has been estimated ($N_0 \approx 5 \cdot 10^{16}\ cm^{-3}$). The above value is close to the concentration of optically active erbium ions typical to Si:Er layers under carrier-mediated excitation. For grown Si:Er/Si structures with different types of Er^{3+} emitting centers, differences in back-transfer process are pointed out.